

Fig. 1

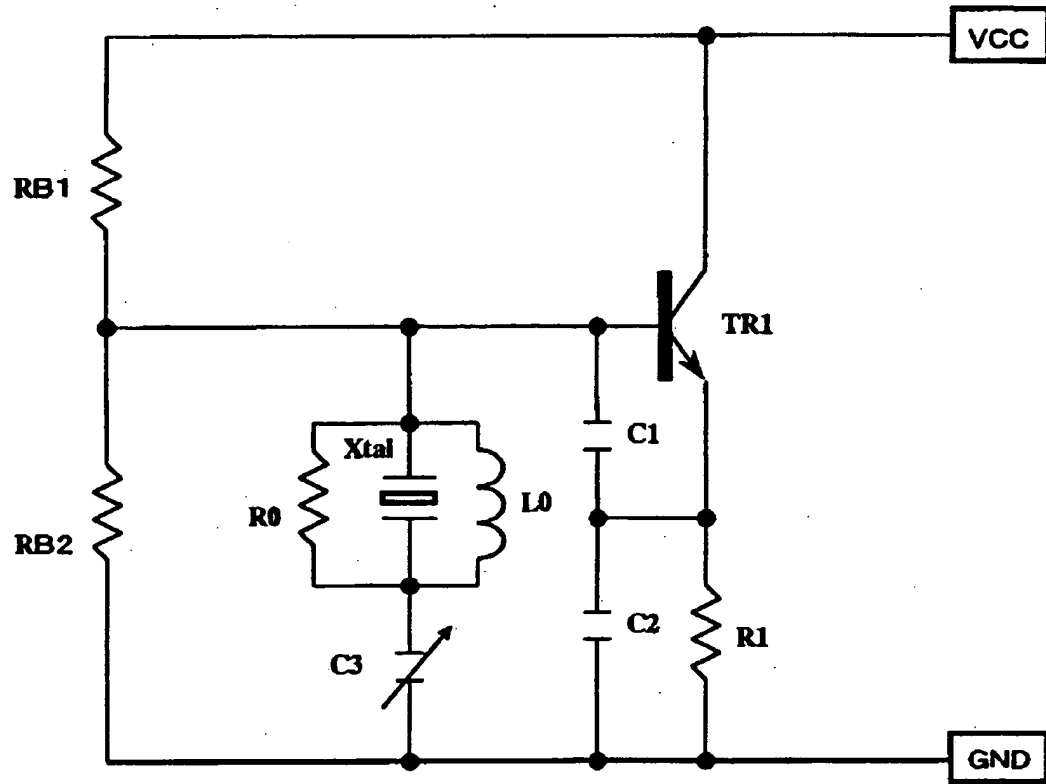


Fig. 2

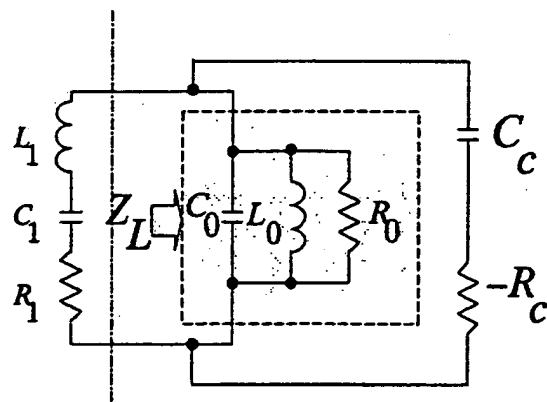


Fig. 3

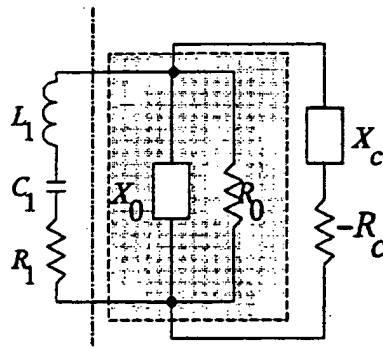


Fig. 4

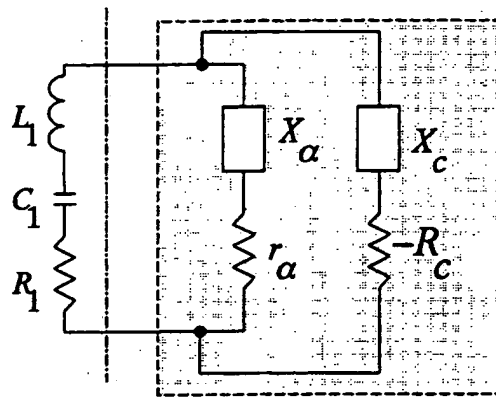


Fig. 5

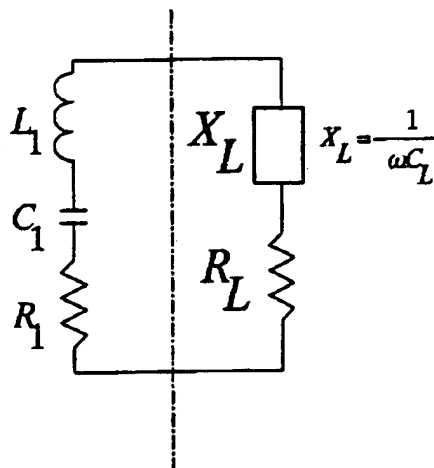


Fig. 6

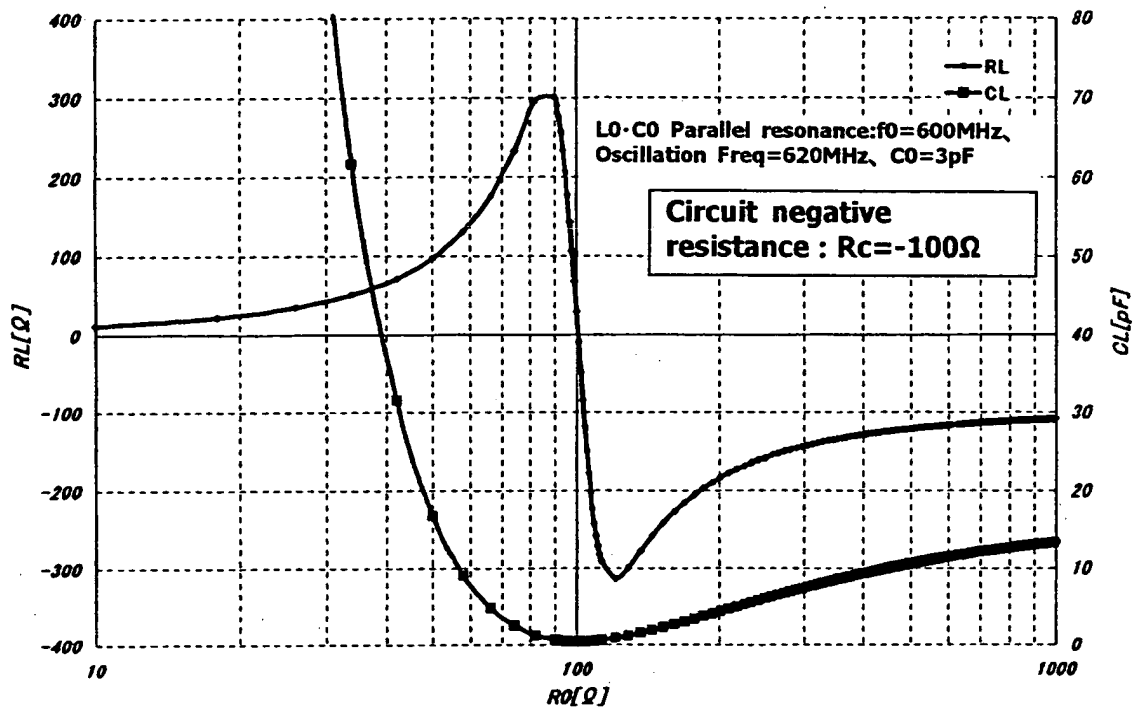


Fig. 7

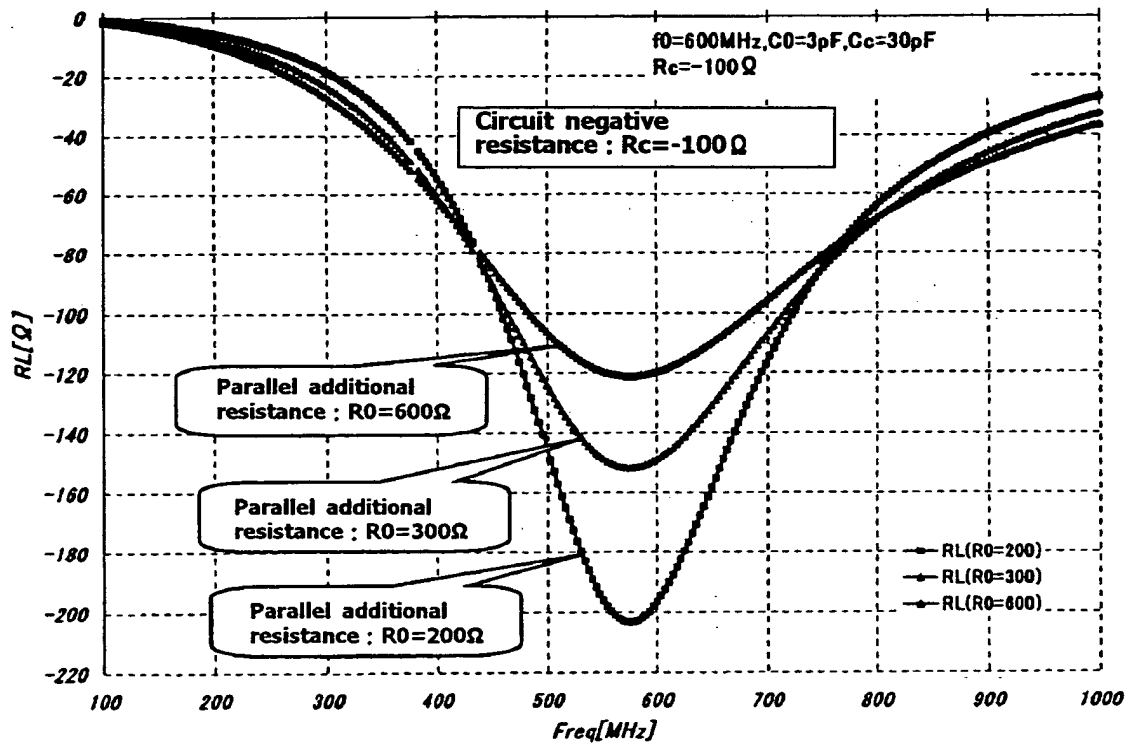


Fig. 8

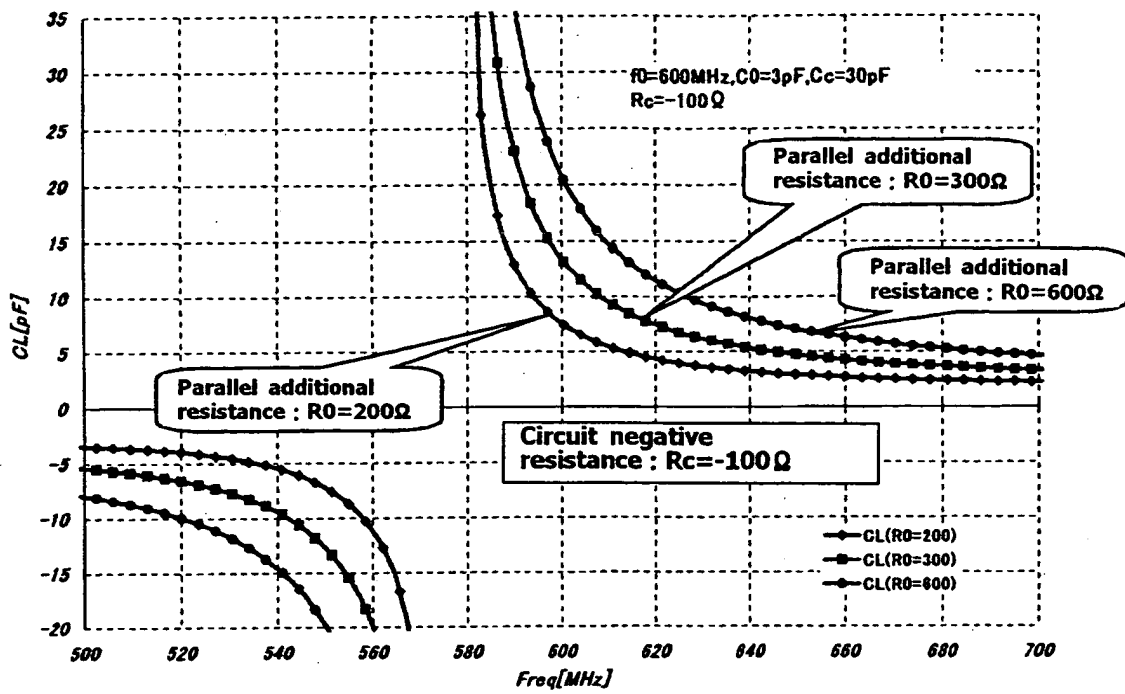


Fig. 9

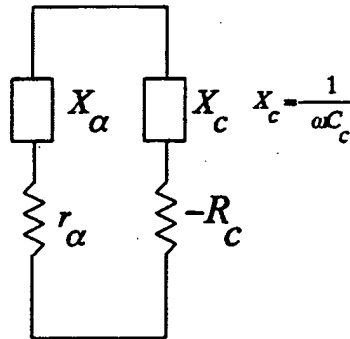


Fig. 10

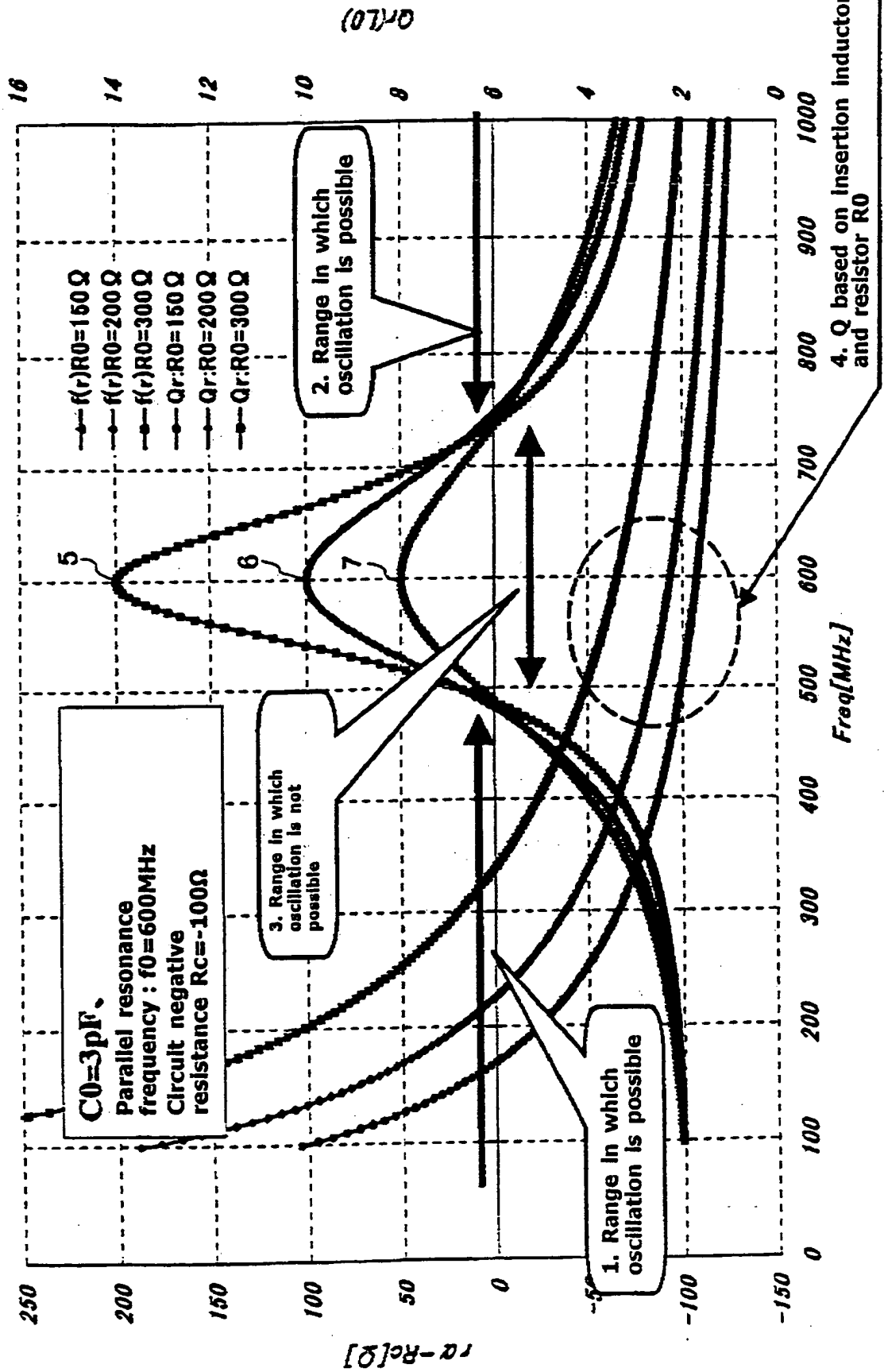


Fig. 11

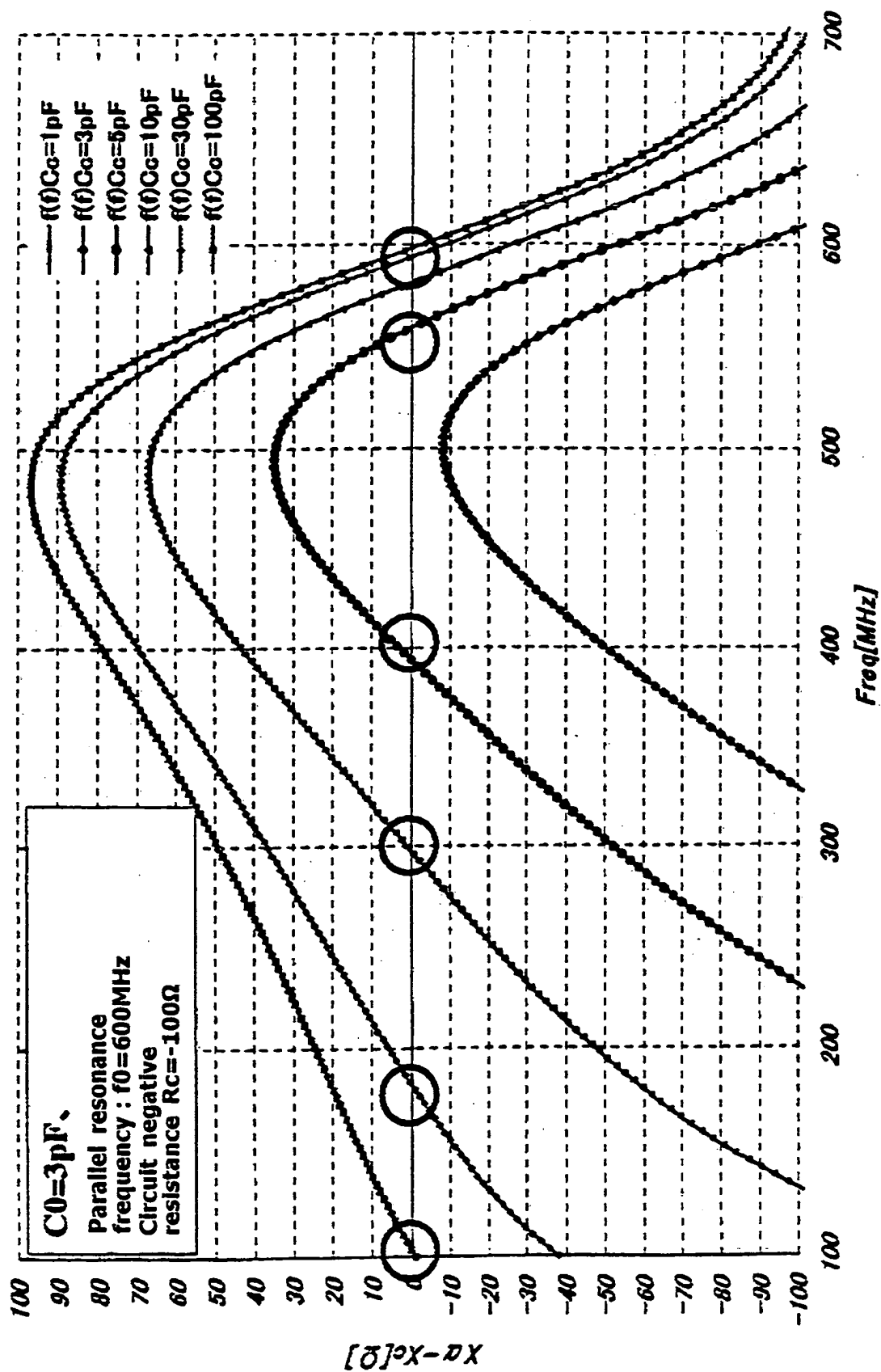


Fig. 12

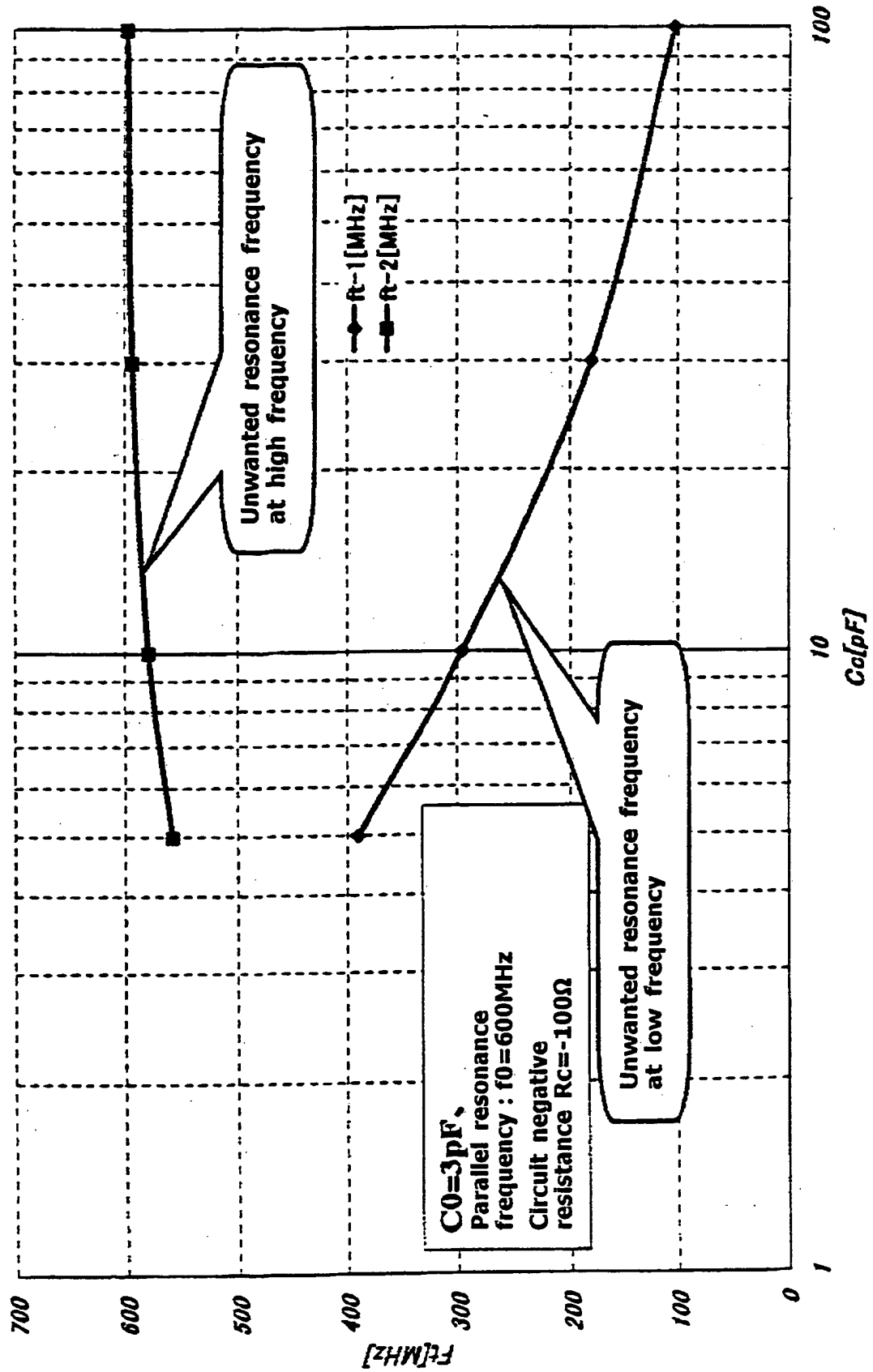


Fig. 13

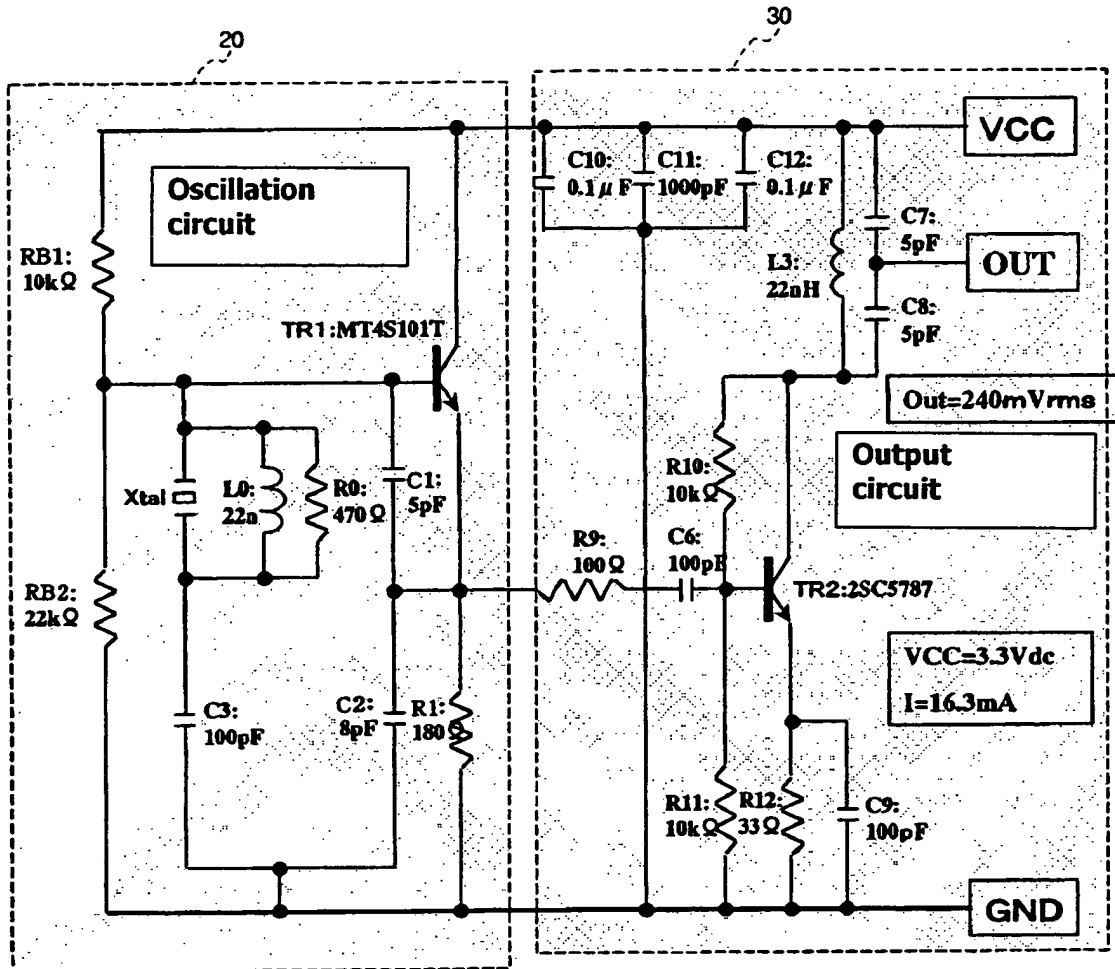


Fig. 14

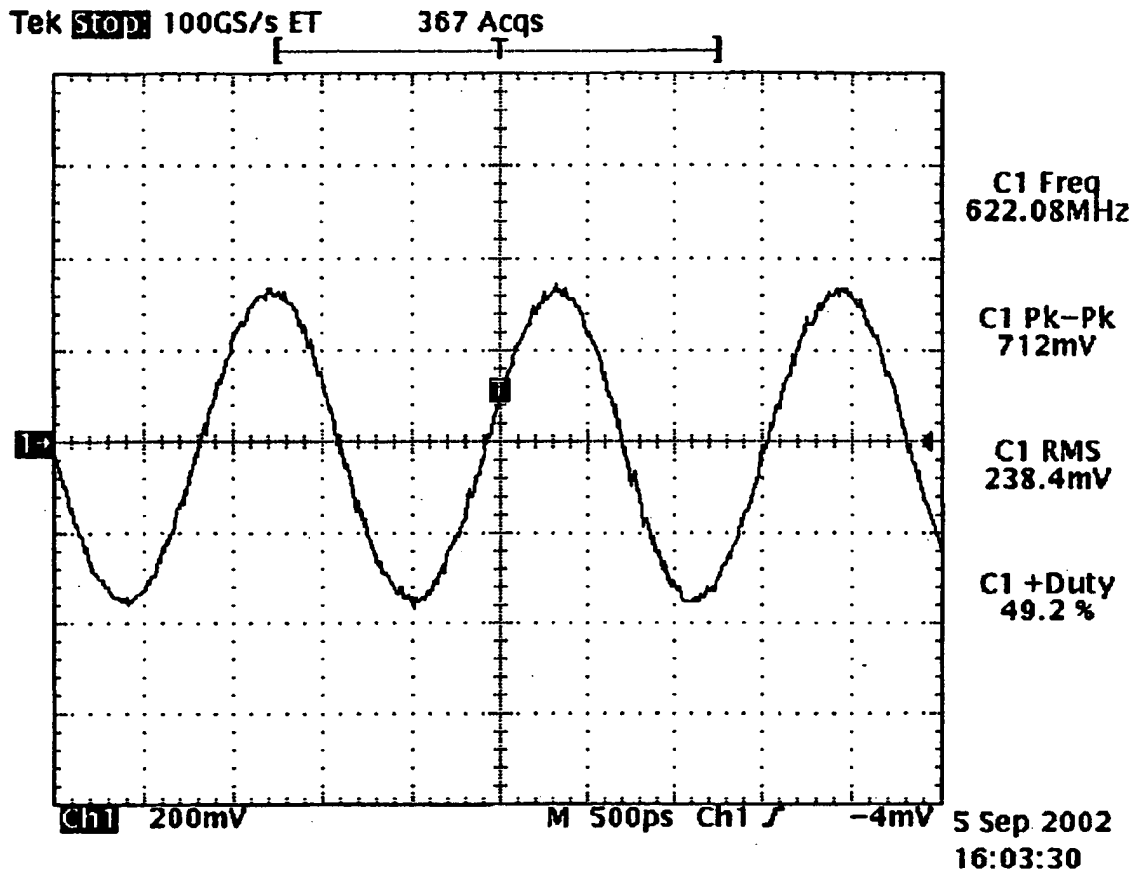


Fig. 15

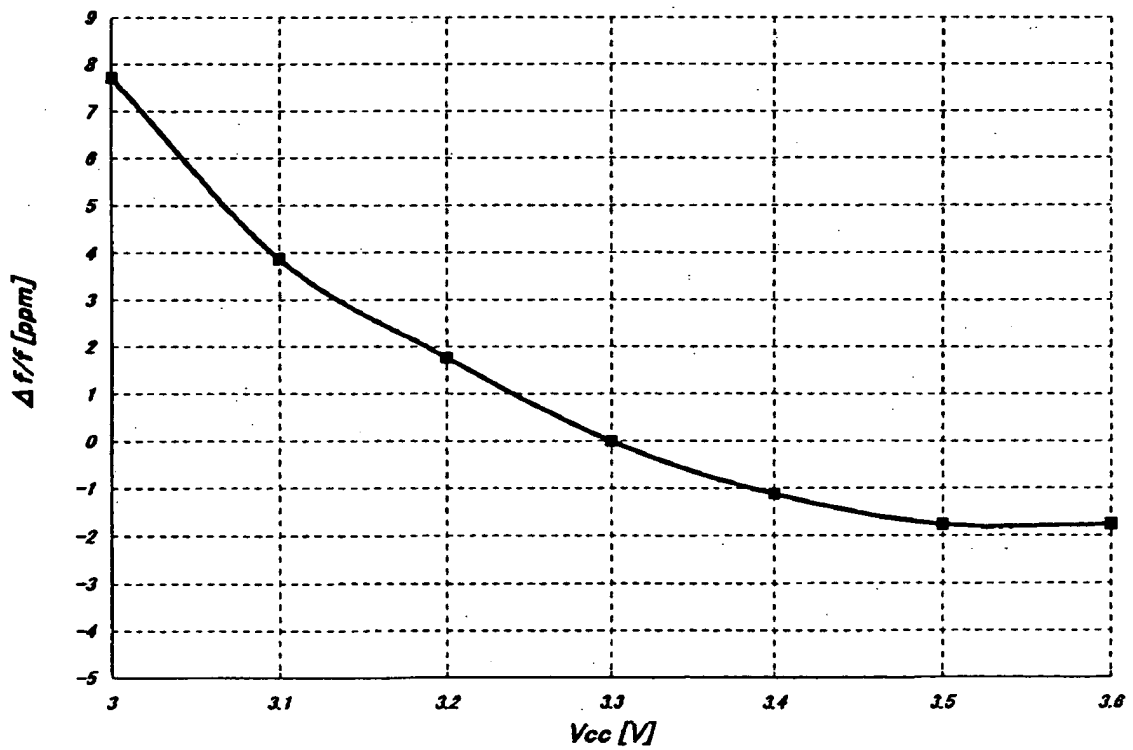


Fig. 16

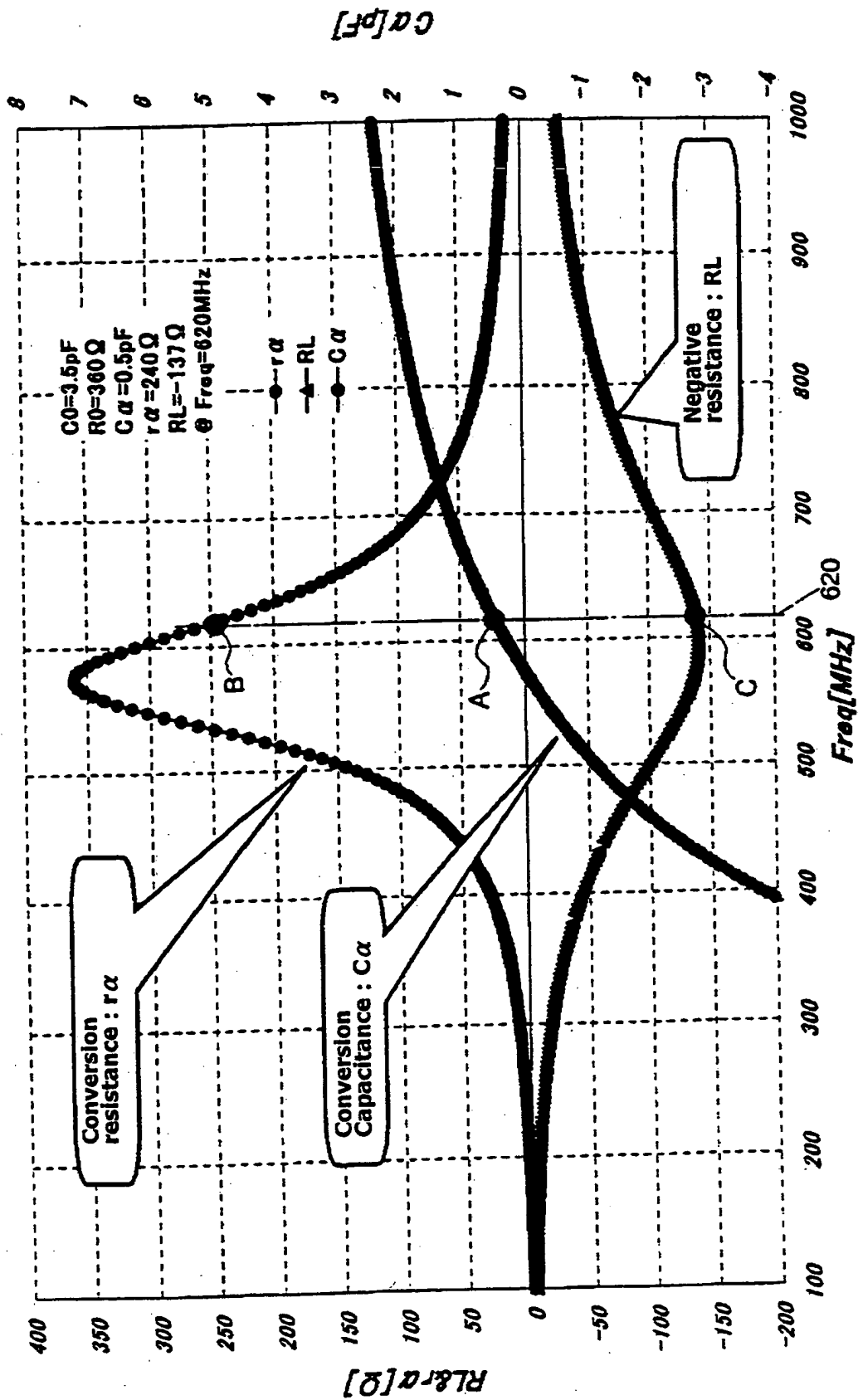


Fig. 17

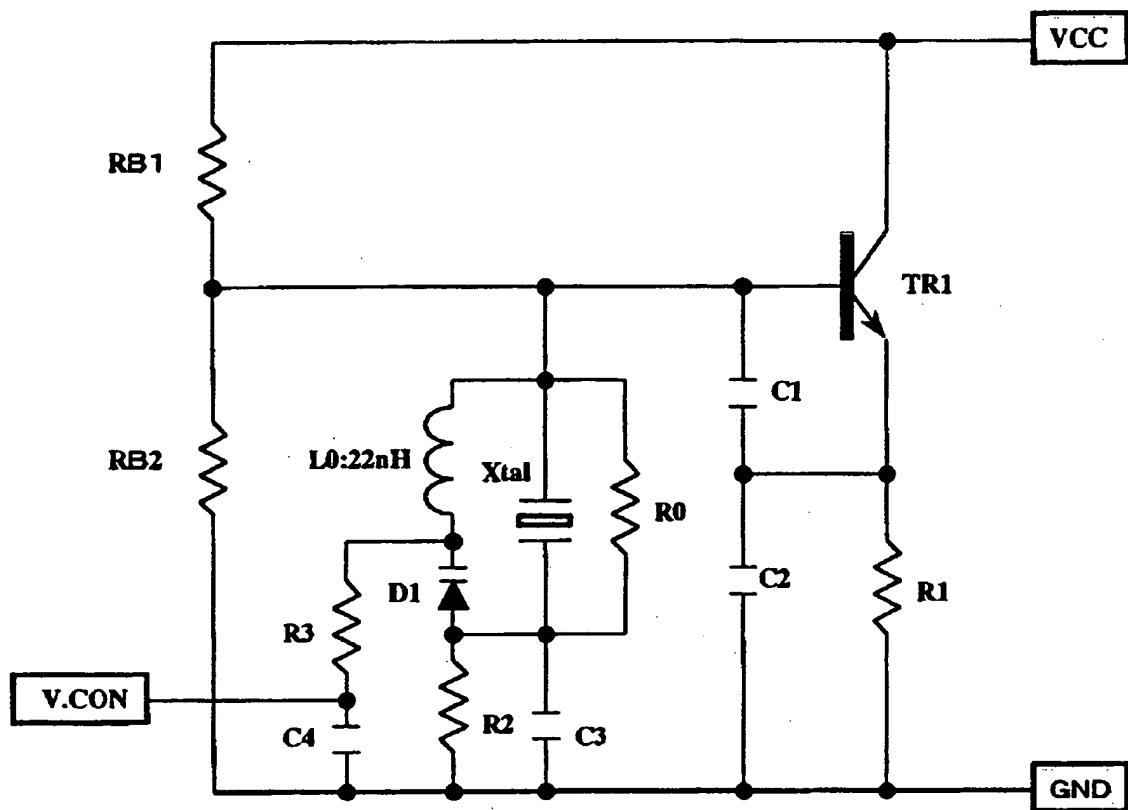


Fig. 18

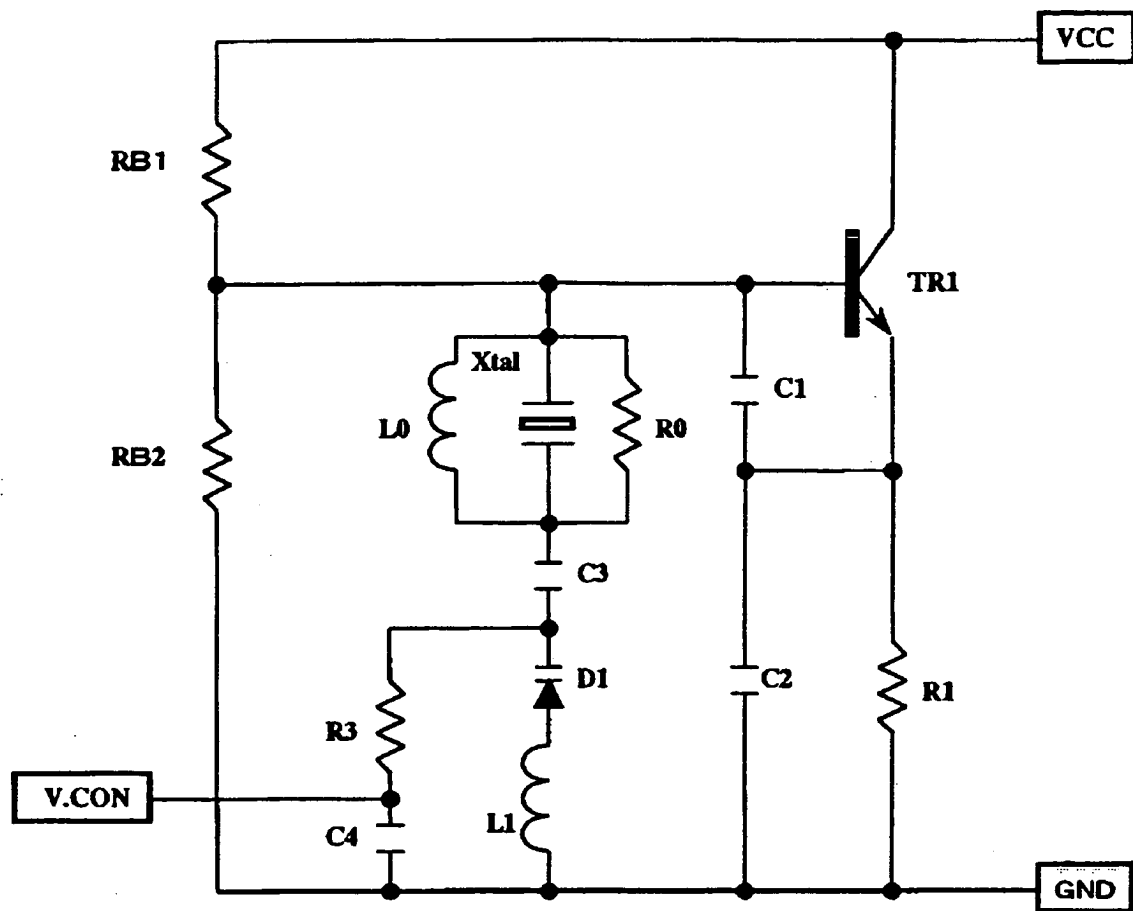


Fig. 19

$RL[\Omega]$

$f_0=600\text{MHz}$, $f_{osc}=622\text{MHz}$, $R_c=-160\Omega$, $C_c=3\text{pF}$, $L_0=23.5\text{nH}$, C_0 : parameter

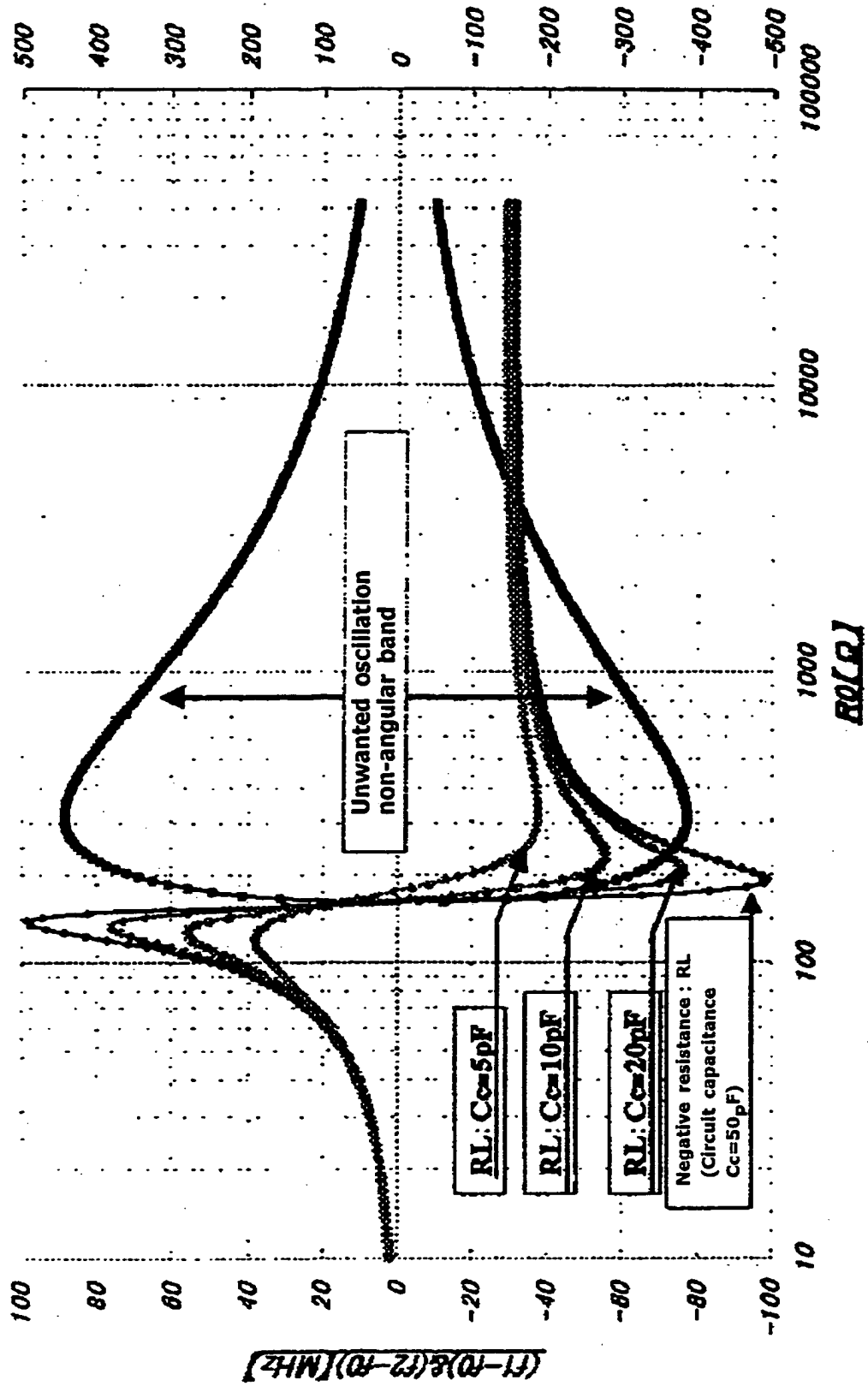


Fig. 20

$f_0=600\text{MHz}$, $f_{osc}=622\text{MHz}$, $R_0=-160\Omega$, $C_0=3\text{pF}$, $L_0=23.5\text{nH}$, $R_0\&C_0\text{Parameter}$

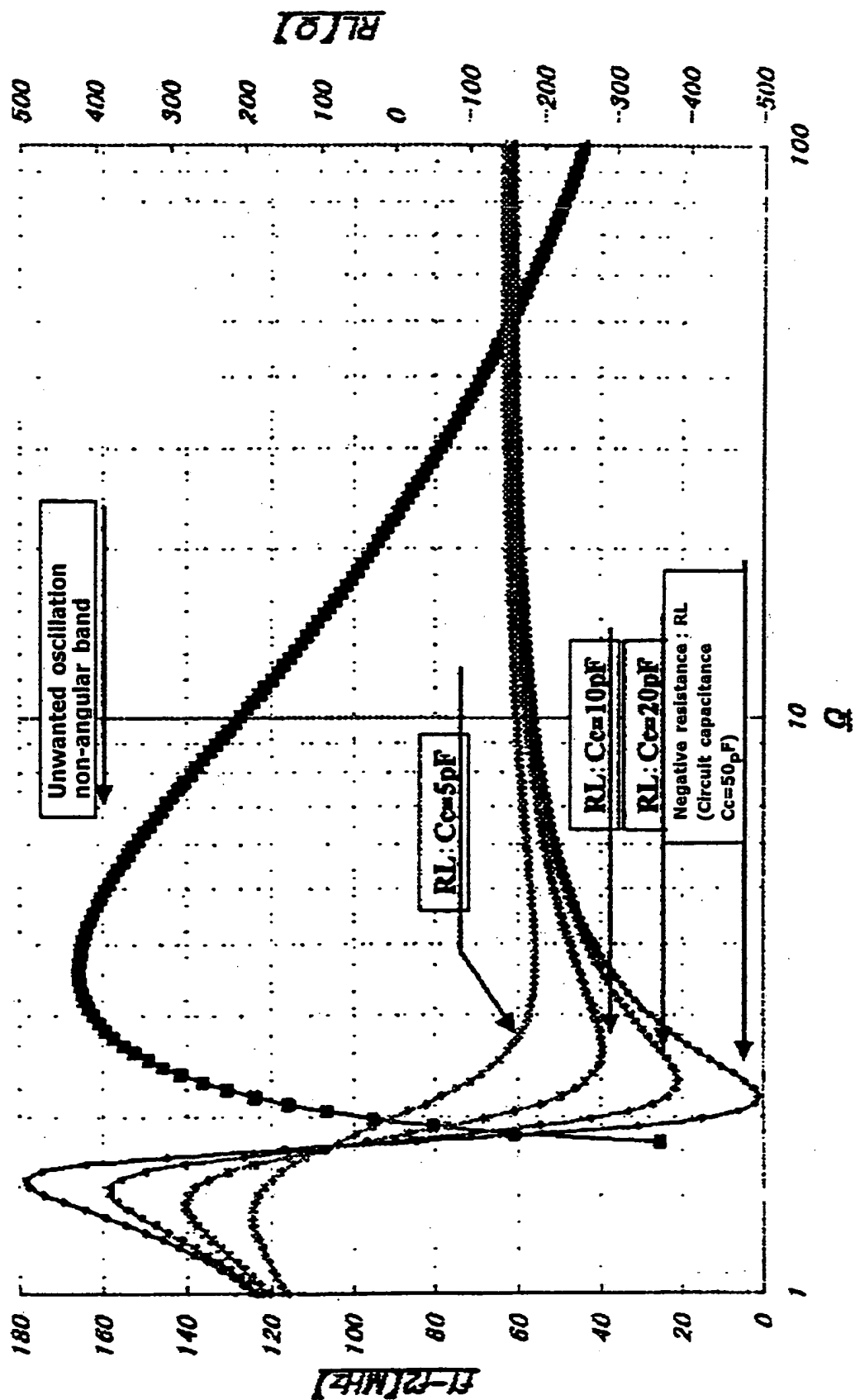


Fig. 21

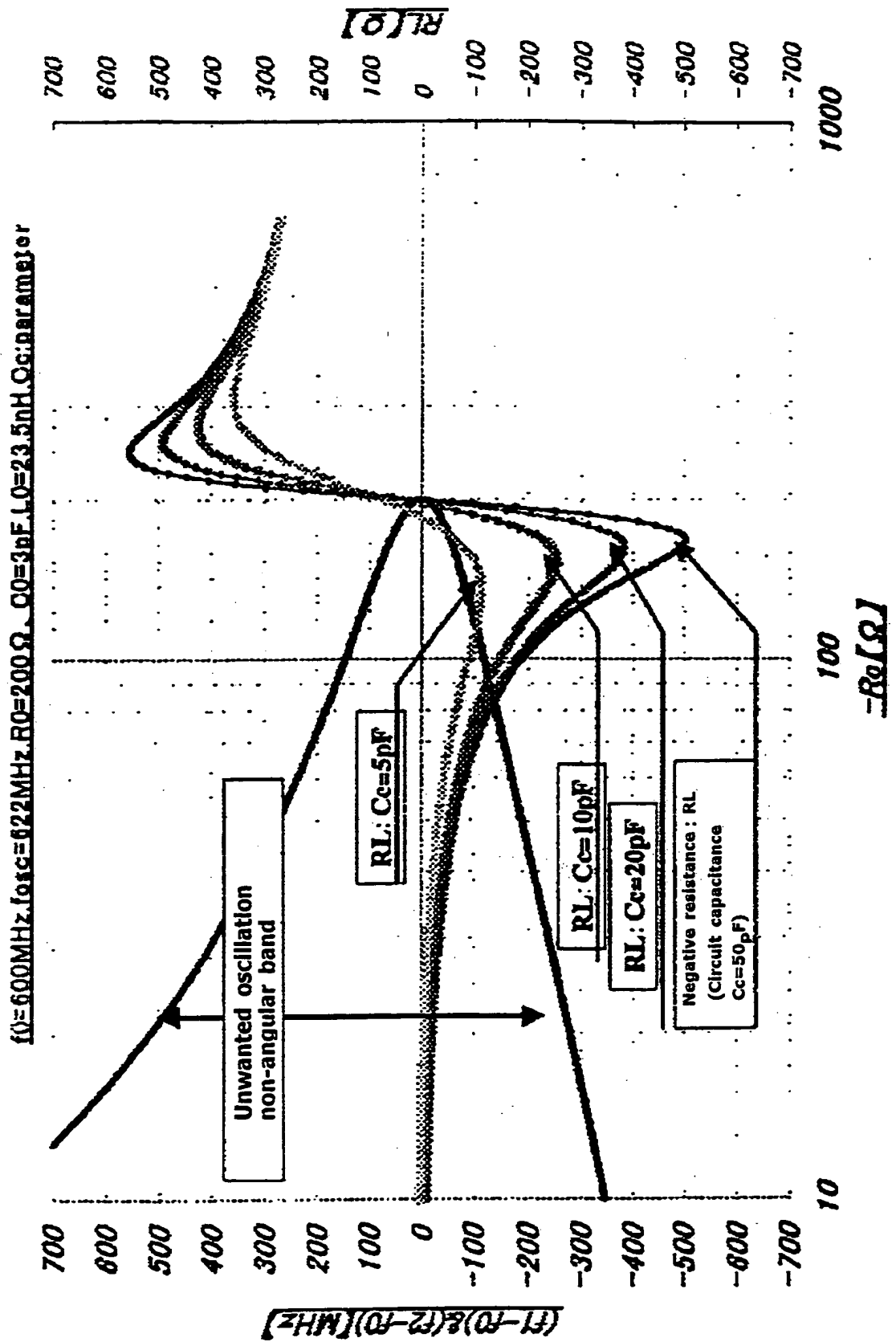


Fig. 22

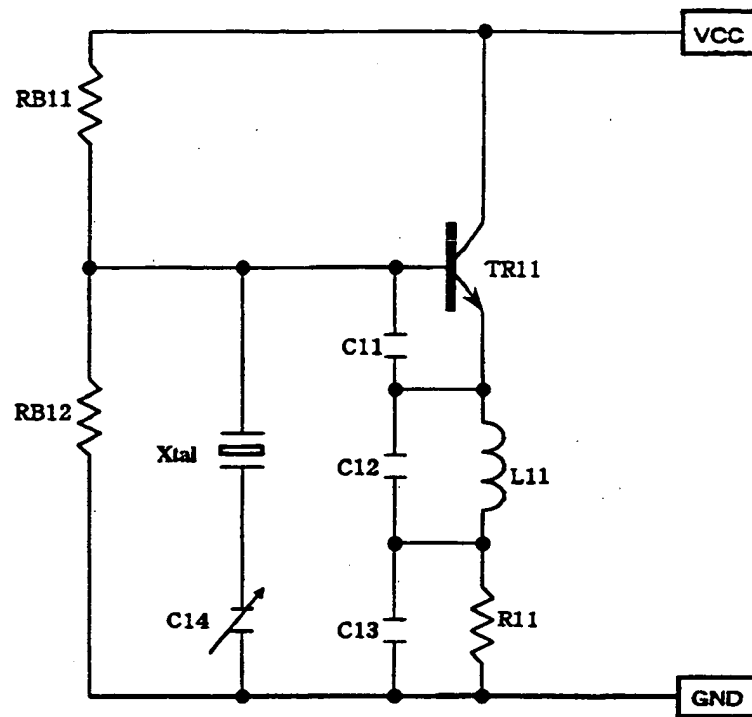


Fig. 23

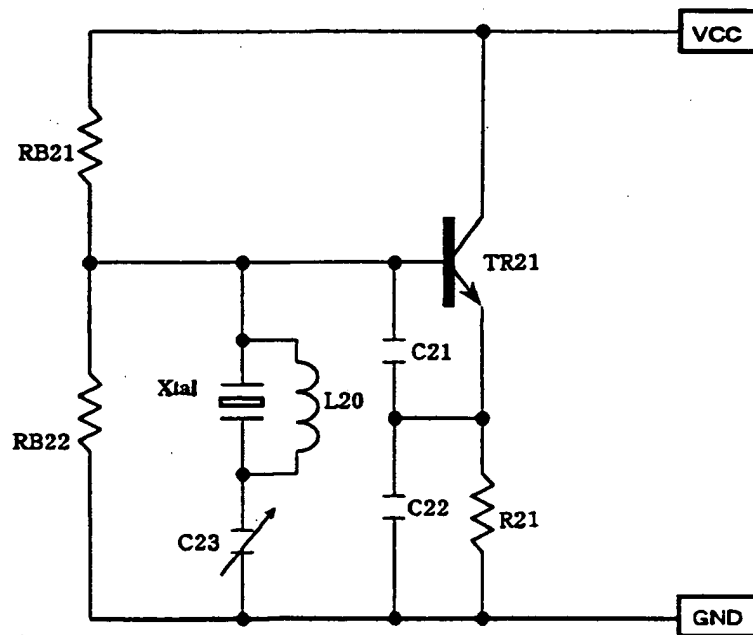
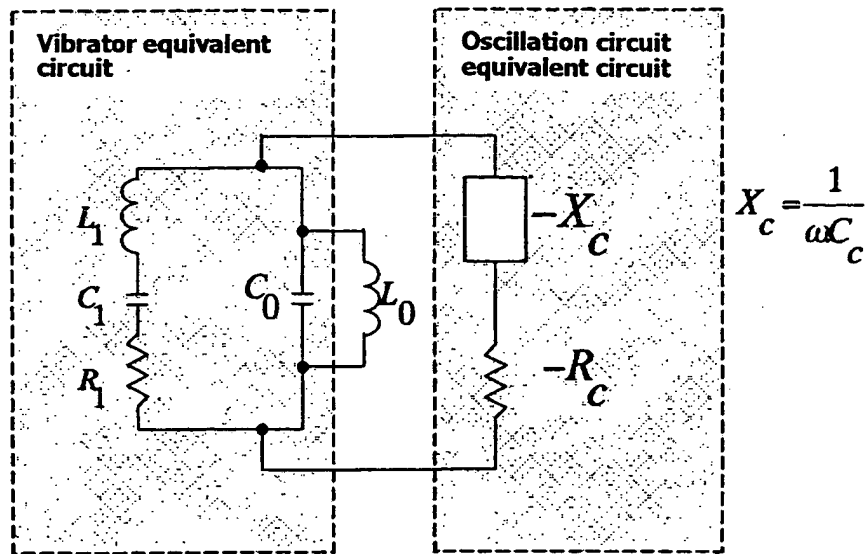


Fig. 24



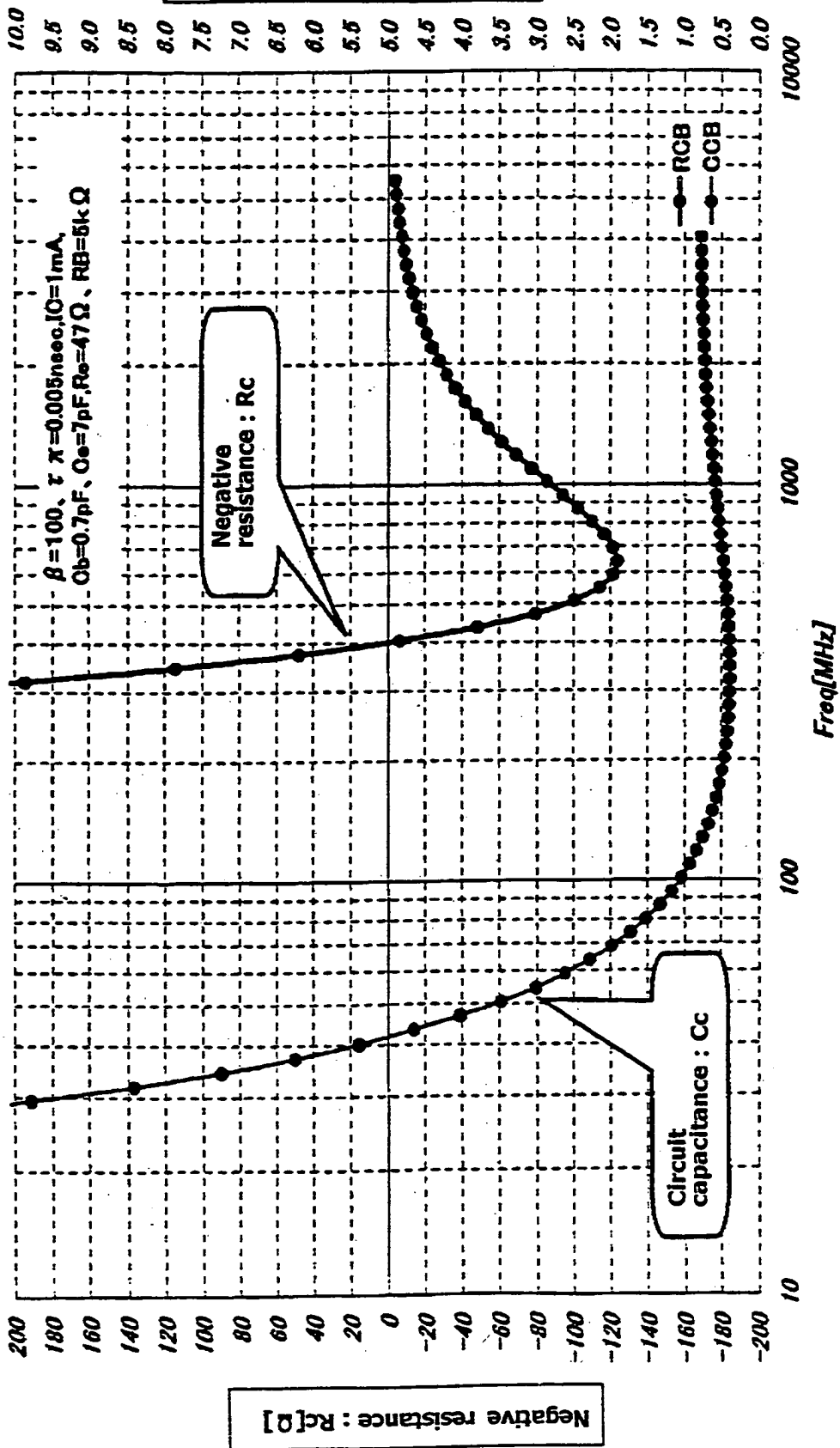


Fig. 25

Fig. 26

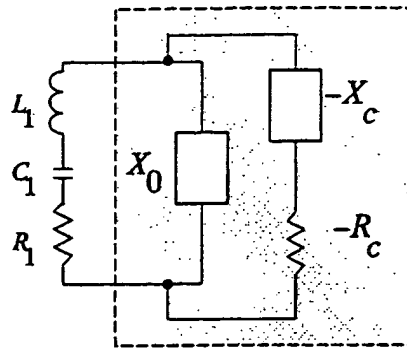


Fig. 27

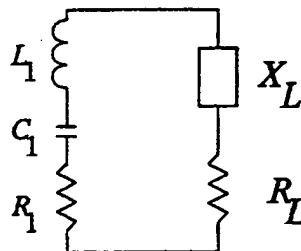


Fig. 28

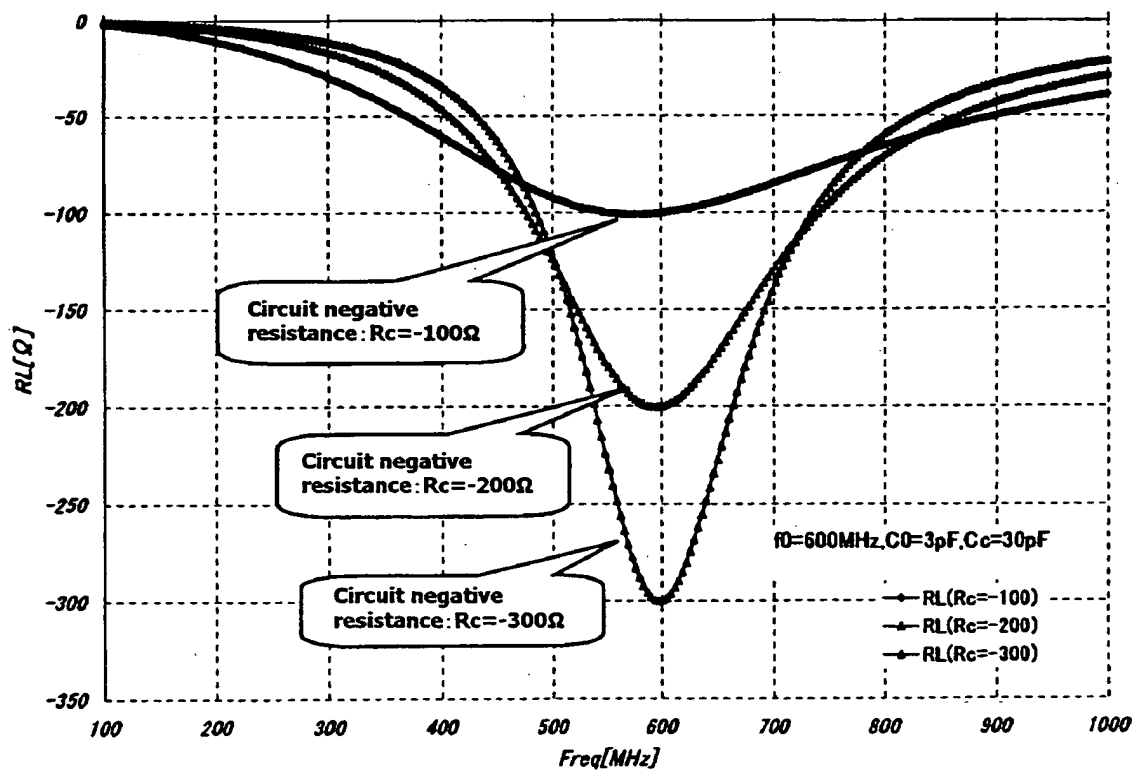


Fig. 29

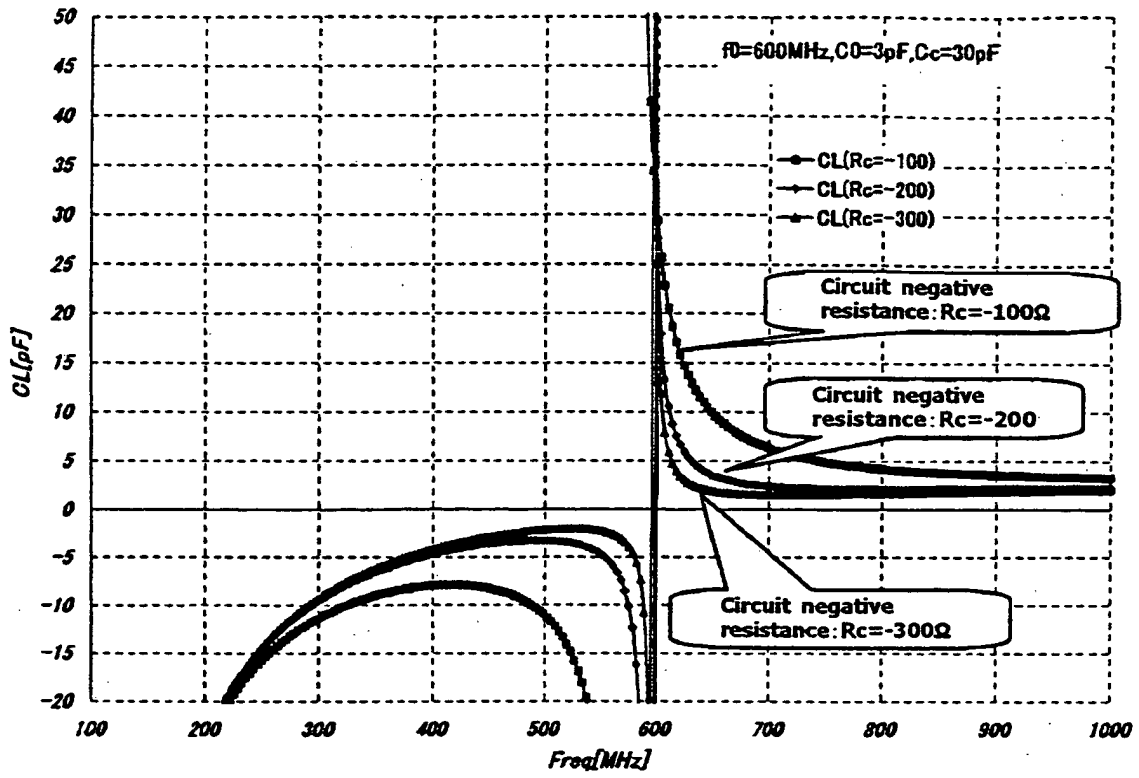


Fig. 30

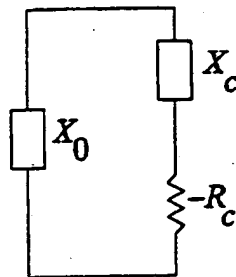


Fig. 31

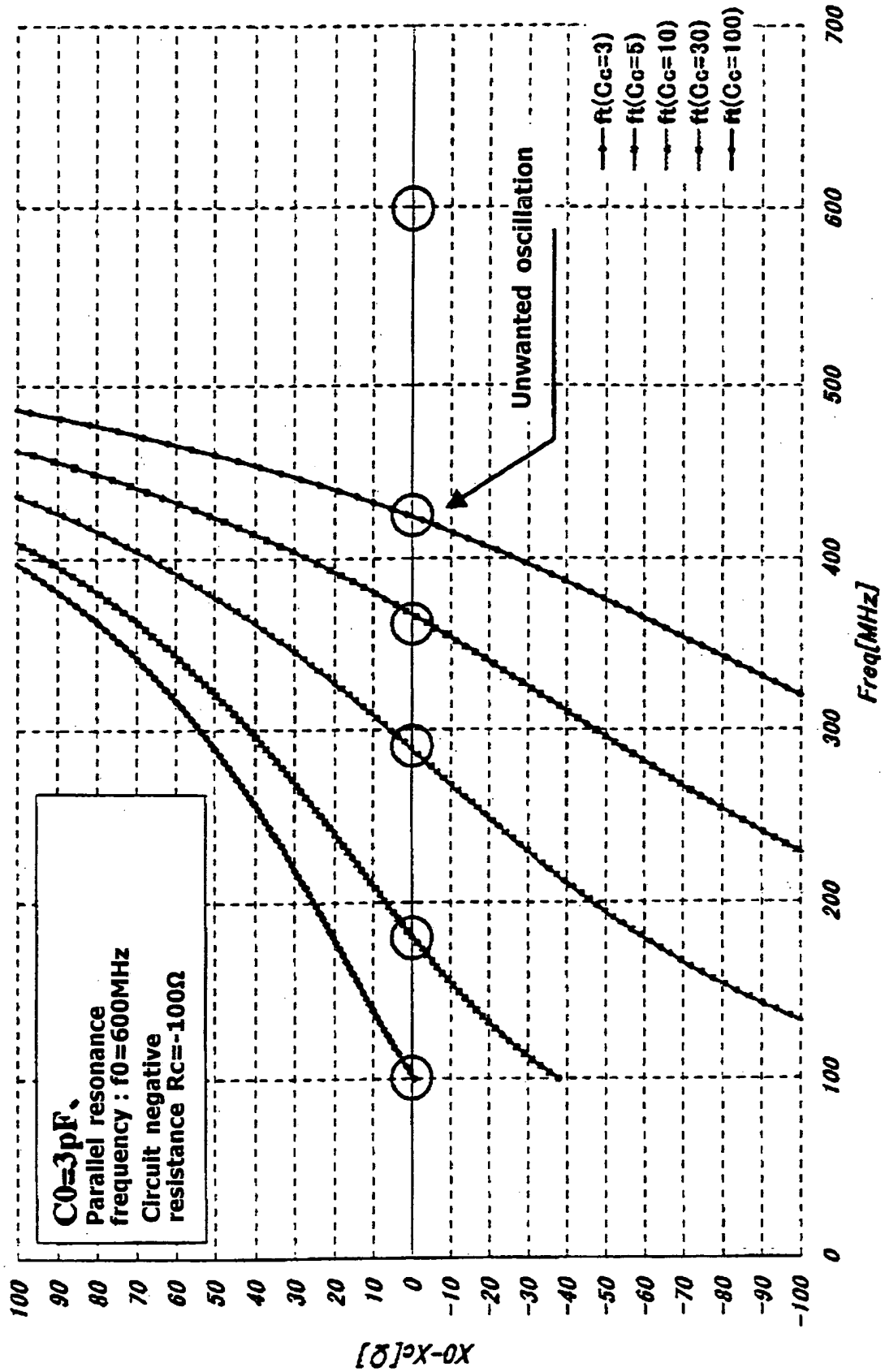


Fig. 32

